



## طراحی چندهدفه نمودار کنترل میانگین متحرک موزون نمایی تعدیل ریسک شده برای نظارت زمان بقای بیماران با بکارگیری تکنیک های تصمیم گیری

امیر نصیری پور

دانشجوی دکتری، گروه مهندسی صنایع، واحد علوم و تحقیقات، دانشگاه آزاد اسلامی، تهران، ایران

امیر عزیزی (نویسنده مسئول)

استادیار، گروه مهندسی صنایع، واحد علوم و تحقیقات، دانشگاه آزاد اسلامی، تهران، ایران

E-mail:azizi@srbiau.ac.ir

ایوب رحیمزاده

استادیار، گروه مهندسی صنایع، واحد کرمانشاه، دانشگاه آزاد اسلامی، کرمانشاه، ایران

محمد جواد ارشادی

دانشیار پژوهشکده فناوری اطلاعات، پژوهشگاه علوم و فناوری اطلاعات ایران (ایرانداک)، تهران، ایران

مصطفویه زینال نژاد

استادیار، گروه مهندسی صنایع، واحد تهران غرب، دانشگاه آزاد اسلامی، تهران، ایران

تاریخ دریافت: ۱۴۰۲/۱۱/۰۸ \* تاریخ پذیرش ۱۴۰۳/۰۲/۰۶

### چکیده

در سال های اخیر توجه زیادی به توسعه نمودارهای کنترل برای نظارت بر سیستم های بهداشت و درمان شده است. بر این اساس، هدف این مقاله طراحی چندهدفه یک نمودار کنترل میانگین متحرک موزون نمایی تعدیل ریسک شده به منظور تشخیص تغییرات کاوشی در زمان بقای بیماران می باشد. بیماران پیش از اینکه تحت عمل جراحی قرار بگیرند عوامل ریسک گوناگونی دارند که بر فرایند جراحی تأثیر می گذارند. از اینرو تعدیل ریسک در طراحی نمودار کنترل پیشنهادی، با هدف در نظر گرفتن تأثیر عوامل ریسک قبل از عمل هر بیمار بر روی زمان بقای او و با استفاده از مدل زمان شکست تسریع یافته استفاده از نمودار کنترل پیشنهادی ضروری است. پارامترهای طراحی به شکلی تعیین شوند که خواص مطلوب اقتصادی و آماری به طور همزمان برآورده شوند. در نتیجه، یک مدل چندهدفه پیشنهاد شده که حل آن توسط یک رویکرد دو مرحله ای مبتنی بر بهینه سازی پارتو و تکنیک تاپسیس انجام می پذیرد. عملکرد رویکرد پیشنهادی در یکی از مراکز درمانی شهرستان کرمانشاه مورد بررسی واقع شده است و مقایسه برای مدل طراحی چندهدفه با مدل تکهدفه طراحی خالص اقتصادی در حضور انحرافات با دلیل چندگانه نیز در نظر گرفته شده که در این قسمت، یافته ها مشخص می نماید که مدل چندهدفه با افزایش مقدار کمی در هزینه، عملکرد آماری مطلوب تر و بهتری را نشان می دهد. به طور کلی، در این مقاله رویکرد جدیدی از مسئله چندهدفه برای طراحی اقتصادی آماری نمودار کنترل تعدیل ریسک شده با توجه به کاربرد آن در سیستم های بهداشت و درمان، مدل سازی شده است.

**کلمات کلیدی:** بهینه سازی پارتو، تاپسیس، تعدیل ریسک، میانگین متحرک موزون نمایی، نمودار کنترل.

## ۱ - مقدمه

نظارت بر سیستم های سلامت به یک بخش ضروری بهداشت و درمان نوین تبدیل شده که باعث بهبود کیفیت خدمات جراحی و دیگر خدمات درمانی می شود و منجر به یک تصمیم گیری مناسب در سیستم های سلامت می گردد. نمودارهای کنترل مهم ترین ابزارهای نظارت مؤثر در زمینه بهداشت و درمان هستند که به منظور شناسایی تغییرات در پارامترهای فرایند بکار گرفته می شوند. با این حال، یکی از مطلوب ترین نوع این نمودارها، نمودار کنترل میانگین متحرک موزون نمایی (EWMA<sup>۱</sup>) است که در زمینه بهداشت و درمان برای نظارت آماری و شناسایی تغییرات کوچک عملکرد برتری دارد (Yeganeh et al., 2023). زمانیکه این نمودار برای نظارت فرایند استفاده می شود، چهار پارامتر باید تعیین شوند: اندازه نمونه، فاصله نمونه گیری، حد کنترل و پارامتر طراحی شده به منظور شناسایی بهینه تغییری خاص در نمودار. انتخاب یک مجموعه از این پارامترها در اصطلاح طراحی نمودار کنترل نامیده می شود (Mustafa et al., 2023). طراحی نمودار کنترل جنبه های اقتصادی و آماری بسیاری دارد. دان肯 (1956) برای نظارت بر میانگین یک فاصله نمونه با دلیل، اولین طراحی اقتصادی را ایجاد کرد که در آن پارامترهای طراحی به گونه ای انتخاب شدند که هزینه تخمينی هر محصول حداقل گردد. مدل هزینه او هزینه های نمونه گیری، هزینه های هشدارهای خارج از کنترل، هزینه های شناسایی و اصلاح انحراف با دلیل و هزینه های دریافت محصول معیوب توسط مشتری را شامل می شد (Duncan, 1956). پس از آن، دیگر پژوهشگران مطالعات تأثیرگذاری را انجام داده و تا به امروز مقالات متعددی در ارتباط با طراحی اقتصادی نمودارهای کنترل منتشر شده است. دیگر مدل معروف برای طراحی اقتصادی بوسیله لورنزن و ونس (1986) پیشنهاد شد که در مقایسه با مدل دان肯 انعطاف پذیری بیشتری دارد و در این مدل، فرایند اجازه دارد که در حین جستجو برای شناسایی و اصلاح انحراف با دلیل، به کار خود ادامه دهد و یا متوقف شود (Lorenzen & Vance, 1986). در ادامه، سرل (2009) بر روی طراحی اقتصادی نمودارهای کنترل EWMA مبتنی بر تابع زیان تاگوچی کار کرد (Serel, 2009). لو و هوانگ (2017) طراحی اقتصادی با محدودیت آماری نمودارهای EWMA دو گانه را بر اساس توابع زیان بررسی کردند (Lu & Huang, 2017). ژیه و همکاران (2023) یک طراحی اقتصادی را برای نمودار کنترل EWMA با قیماندها پیشنهاد کردند که اندازه های نمونه گیری متغیر و فاصله های نمونه گیری متغیر را شامل می شد (Xue et al., 2023).

با این حال، طراحی اقتصادی نمودارهای کنترل ممکن است باعث ویژگی های آماری ضعیفی شود که این مسئله تصمیم گیری مدیران برای استفاده از نمودارهای کنترل را با شک و تردید روبرو می کند. ویژگی های آماری شامل احتمال خطاهای نوع اول و دوم، متوسط طول دنباله (ARL<sup>۲</sup>) در شرایط تحت کنترل و خارج از کنترل و متوسط زمان تا هشدار (ATS<sup>۳</sup>) در شرایط تحت کنترل و خارج از کنترل می باشد (Rafiee et al., 2021). با هدف بهبود ویژگی های آماری یک نمودار کنترل که با مدل های اقتصادی طراحی شده است، سانیگا (1989) با افزودن احتمال خطاهای نوع اول و دوم به عنوان محدودیت هایی به مدل اقتصادی دان肯، نخستین بار طراحی اقتصادی آماری را ایجاد نمود (Saniga, 1989). طراحی اقتصادی آماری دستیابی همزمان به ویژگی های اقتصادی و آماری مطلوب را فراهم می سازد. پس از آن، مطالعات متعددی در این زمینه به اجرا رسید. نیاکی و همکاران (2011) به مقایسه طراحی اقتصادی آماری و طراحی اقتصادی نمودارهای کنترل EWMA پرداختند و به منظور حل یک روش بهینه سازی از دحام ذرات را معرفی کردند (Niaki et al., 2011). امیری و همکاران (2015) برای در نظر گرفتن شاخص های اقتصادی، آماری و عدم قطعیت، یک طراحی اقتصادی آماری نمودار کنترل EWMA را با یک رویکرد استوار مبتنی بر سناریو ایجاد کردند (Amiri et al., 2015). کتابی و پور طاهری (2019) طراحی اقتصادی آماری نمودارهای کنترل EWMA پواسون را برای نظارت بر عدم انطباق ها بررسی کردند (Ketabi & Pourtaheri, 2019). لی و همکاران (Lee et al., 2023) به طراحی اقتصادی آماری نمودار کنترل EWMA پواسون با فاصله نمونه گیری متغیر پرداختند.

<sup>1</sup>. Exponentially Weighted Moving Average

<sup>2</sup>. Average Run Length

<sup>3</sup>. Average Time to Signal

نظرارت بر فرایندهای بالینی و بیمارستانی برای سیستم‌های سلامت به یک مسئله بسیار ضروری تبدیل شده است. بیمارانی که در این سیستم‌ها تحت درمان قرار می‌گیرند به علت داشتن ویژگی‌های پیش از عمل متفاوت در جنسیت، سن، فشار خون، قند خون و غیره جامعه ناهمگونی را تشکیل می‌دهند. بنابراین، احتمال مرگ هر بیمار پس از جراحی نه تنها به مهارت جراح، بلکه به ویژگی‌های پیش از عمل هر بیمار وابسته است. از اینرو، نظارت و ارزیابی عملکرد جراحی نیاز است که بر اساس این ویژگی‌ها تنظیم شود که این فرایند تعديل ریسک نامیده می‌شود (Rafiei & Asadzadeh, 2022). این نکته اهمیت بسیار دارد که بدون در نظر گرفتن تعديل ریسک، تشخیص مطلوب بودن یا نامطلوب بودن کیفیت جراحی امکان‌پذیر نیست و در شرایط عدم تعديل ریسک، نمودارهای کنترل در جایگاه یک ابزار بهبود کیفیت کارایی خود را از دست می‌دهند. سگو و همکاران (۲۰۰۹) با بکارگیری یک نمودار کنترل تعديل ریسک جدید یک رویکرد را برای کنترل داده‌های سانسورشده جراحی قلب ارائه دادند (Sego et al., 2009). محمدیان و همکاران (۲۰۱۶) فاز یک نمودارهای کنترل هندسی تعديل ریسک شده را برای نظارت سیستم‌های سلامت پیشنهاد کردند (Mohammadian et al., 2016). بهمنظور شناسایی تغییرات در نرخ اصلاح در تعویض مفصل لگن یک رویکرد نظارتی مبتنی بر تعديل ریسک توسط بیگان و همکاران (۲۰۱۹) مورد بررسی قرار گرفت (Begin et al., 2019). کیم و همکاران (۲۰۲۲) برای نظارت بر خروجی‌های جراحی و تعیین برنامه آموزشی برای جراحی لاپاراسکوپی لوزالمعده از یک نمودار کنترل تعديل ریسک شده استفاده کردند (Kim et al., 2022).

تا آنجا که آشکار است بررسی ادبیات نشان می‌دهد تا به امروز طراحی اقتصادی آماری نمودارهای کنترل EWMA تعديل ریسک شده برای نظارت بر روند درمان و بهبودی بیماران به ندرت مورد بررسی قرار گرفته است. مطالعه حاضر تلاش می‌کند که یک مدل چندهدفه اقتصادی آماری برای نمودارهای کنترل EWMA تعديل ریسک شده مبتنی بر توزیع لگ‌لجرستیک را توسعه دهد. روش‌های مختلفی برای حل مدل پیشنهادی وجود دارد که در بین آنها اصل پارتو<sup>۴</sup> و تکنیک تاپسیس<sup>۵</sup> دو روش بهینه‌سازی و تصمیم‌گیری قدرتمند هستند. اصل پارتو یکی از مطلوب‌ترین ساخت‌وکارها در بهینه‌سازی است که توانایی ارتقا دادن راه حل‌ها را دارد (Rafiei et al., 2021). از اینرو، برای شناسایی راه حل‌های نامغلوب مدل پیشنهادی از بهینه‌سازی پارتو استفاده می‌گردد. سپس، تکنیک تاپسیس برای دسته‌بندی اولویت‌های راه حل‌های نامغلوب بکار گرفته می‌شود (Ghafour, 2024). تاپسیس به طور گسترده برای حل مسائل تصمیم‌گیری چندمعیاره در حوزه‌های مدیریت، صنعت و مالی شامل انتخاب ربات جوشکاری صنعتی (Ghodha et al., 2022) و انتخاب سبد پروره‌های ساخت‌وساز (Forozandeh & Roozbahani, 2023) استفاده شده است. بنابراین، با تعریف گرینه‌های مناسب می‌توان از تکنیک تاپسیس در طراحی چندهدفه اقتصادی آماری استفاده کرد. در نتیجه، این مقاله با هدف ارزیابی و دستیابی به پارامترهای بهینه طراحی چندهدفه نمودار کنترل EWMA تعديل ریسک شده در فرایند درمان و بهبودی بیماران با ملاحظات اقتصادی و آماری و با بکارگیری یک رویکرد دو مرحله‌ای مبتنی بر بهینه‌سازی پارتو و تکنیک تاپسیس ارائه می‌گردد.

## ۲- روش شناسی پژوهش

(الف) نمودار کنترل EWMA تعديل ریسک شده مبتنی بر توزیع لگ‌لجرستیک به منظور نظارت بر نرخ مرگ‌ومیر، فرایند جراحی و بهبودی بیماران قلبی در نظر گرفته می‌شود. در سیستم‌های بهداشت و درمان بیماران دارای پیشینه سلامت متمایز و منحصر به‌فردی هستند که به طور متداول این پیشینه با امتیاز عامل ریسک ارزیابی می‌شود. امتیاز عامل ریسک یک روش شناخته‌شده برای تعیین احتمال مرگ‌ومیر بیمار در یک فرایند درمانی خاص است (Rafiei et al., 2021). براساس تعریف این امتیاز، مشخص است عملکرد فرایند جراحی بیماران به این ریسک‌های پیش از عمل بستگی دارد. بنابراین، نمودارهای کنترل باید تعديل ریسک شوند تا یک رویکرد نظارتی صحیح و کارآمد بکار گرفته شود. طرح نظارتی تعديل ریسک شده یک بحث بسیار مهم در سیستم‌های بهداشت و درمان است که توجه بسیاری را به خود جلب کرده است. از اینرو، در این مطالعه برای شناسایی سریع تغییرات در نرخ مرگ‌ومیر، یک رویکرد نظارتی براساس زمان بقای بیماران در نظر گرفته می‌شود که این رویکرد برای در نظر گرفتن اثر عوامل ریسک تعديل شده است.

<sup>4</sup>. Pareto Principle

<sup>5</sup>. TOPSIS Technique

زمان بقا متغیری است که ماهیت داده های قابلیت اطمینان را دارد و دو ویژگی مهم قابلیت اطمینان، نظارت بر چنین داده هایی را دشوار می سازد. سانسور شدگی یکی از ویژگی های خاص این داده ها است و زمانی مطرح می شود که نظارت بر زمان بقا تا یک مقدار معین مورد توجه باشد. بنابراین، برای کاهش هزینه و زمان می توان در فرایند جراحی ساخت و کار سانسور شدگی از راست را بکار گرفت. ویژگی دوم این است که مدل سازی داده های قابلیت اطمینان توسط عضوی از توزیع های مکان مقیاس و لگاریتم مکان مقیاس انجام می پذیرد (Rafiee & Asadzadeh, 2022). در این بین، لگ لجستیک یکی از پر کاربرد ترین ها می باشد که در شرایط متنوع مفید واقع شده است (Sego et al., 2009). اگر متغیر تصادفی زمان بقا ( $y$ ) از توزیع لگ لجستیک پیروی کند، تابع چگالی ( $f$ ) و تابع بقا ( $S$ ) آن به صورت زیر بیان می شود و در اینجا  $\beta_0$   $\beta_1$  پارامتر مقیاس و  $\gamma$  پارامتر شکل می باشد.

$$f(y) = \frac{\gamma}{y} \left( \frac{y}{\theta} \right)^{\gamma-1} \left[ 1 + \left( \frac{y}{\theta} \right)^{\gamma} \right]^{-2}, \text{ and } S(y) = \left[ 1 + \left( \frac{y}{\theta} \right)^{\gamma} \right]^{-1} \quad (1)$$

از طرف دیگر، ناهمگونی موجود در جامعه بیماران و ماهیت قابلیت اطمینان زمان بقا نیاز به استفاده از مدل های رگرسیون تحلیل بقا را ضروری می سازد. مدل زمان شکست تسریع یافته (AFT)<sup>۶</sup> یکی از مهم ترین مدل های رگرسیون تحلیل بقا است که یک Parsa & Van Keilegom, (2023). در این مطالعه به منظور تعديل ریسک از مدل AFT استفاده شده و براساس آن، پارامترهای توزیع پایه را می توان به صورت ( $x_i$ ,  $\beta_0$ ,  $\beta_1$ ,  $\gamma$ ) نشان داد که  $\Psi_i$  برداری از پارامترهای توزیع،  $\gamma$  تابع مدل رگرسیون،  $\beta$  بردار پارامترهای رگرسیونی و  $x_i$  بردار متغیرهای تأثیرگذار است که عوامل ریسک را برای بیمار  $i$  انکاس می دهد. با توجه به آنچه که برای مدل AFT مورد بحث قرار گرفت، پارامتر مقیاس توزیع لگ لجستیک را به تنها متغیر تأثیرگذار در این مطالعه یعنی امتیاز عامل ریسک، وابسته می کنیم. با انجام این کار، تابع بقا به صورت زیر بازنویسی می گردد:

$$S(y|x) = \left[ 1 + \left( \frac{y}{\exp(\beta_0 + \beta_1 x)} \right)^{\gamma} \right]^{-1} = \left[ 1 + \left( \frac{y}{\theta \exp(\beta_1 x_i)} \right)^{\gamma} \right]^{-1} \quad (2)$$

که در اینجا  $\beta_0$  و  $\beta_1$  پارامترهای مدل رگرسیونی هستند. در رابطه (2)، نقش قسمت ثابت  $\exp(\beta_0)$  با پارامتر مقیاس یکی است. از اینرو، می توان بیان کرد که مدل AFT برای توزیع لگ لجستیک دارای پارامتر شکل  $\gamma$  و پارامتر مقیاس  $\theta \exp(\beta_1 x_i)$  می باشد و بردار پارامترهای تحت کنترل برای این توزیع به صورت ( $\beta_0$ ,  $\beta_1$ ,  $\gamma$ ) نشان داده می شود. فرض می شود که شرایط خارج از کنترل به صورت ( $\beta_0$ ,  $\beta_1$ ,  $\gamma$ ) نمایش داده می شود که  $\gamma$  یک تغییر از پیش تعیین شده در پارامتر مقیاس است که نمودار کنترل EWMA تعديل ریسک شده با هدف شناسایی بهینه آن طراحی شده است. به علت ارتباط مستقیم بین پارامتر مقیاس و میانگین توزیع لگ لجستیک، هر تغییری در پارامتر مقیاس تغییری برابر در زمان بقا را بیان می کند.

در مطالعه حاضر یک امتیاز جدید برای بیمار با نام امتیاز ناحیه<sup>۷</sup> پیشنهاد شده است که با در نظر گرفتن هر دوی خروجی های مشاهده شده و انتظاری، ناحیه زیر توزیع مرگ و میر انتظاری بیماران را بین صفر و زمان بقا واقعی آنها محاسبه می کند. امتیاز جدید، بدون آنکه برای بکارگیری و درک آن، پیچیدگی و مشکلاتی را ایجاد کند یک توصیف دقیق تر و با جزئیات بیشتری از کیفیت خروجی جراحی فراهم می نماید. در نتیجه، امتیاز ناحیه می تواند به عنوان یک آماره کنترلی در نمودارهای کنترل تعديل ریسک شده برای نظارت بر کیفیت خروجی جراحی استفاده شود. امتیاز ناحیه برای هر بیمار  $i$  که تحت عمل جراحی قرار می گیرد به صورت  $s_i$  اندازه گیری می شود و  $y_{it}$  ارزش مربوط به زمان بقای ثبت شده برای هر بیمار  $i$  است. خروجی انتظاری، مرگ و میر انتظاری است که با کم کردن احتمال بقا از عدد یک محاسبه می شود (Ding et al., 2021). ما احتمال بقای هر بیمار را با استفاده از تابع بقای لگ لجستیک و با بکارگیری مدل AFT مطابق با رابطه (2) تعریف کردیم. امتیاز ناحیه  $s_i$  توسط ناحیه زیر

<sup>6</sup>. Accelerated Failure Time

<sup>7</sup>. Area Score

توزیع مرگ و میر انتظاری بین صفر و  $y_i$  توصیف می شود به شرطی که بیمار پس از جراحی، قبل از زمان سانسورشدنگی بمیرد. در غیر اینصورت، امتیاز ناحیه برابر است با صفر منهای مرگ و میر انتظاری. از اینرو، امتیاز ناحیه به صورت زیر اندازه گیری می گردد:

$$S_i = \begin{cases} \int_0^{t_i} (1 - S_i(t)) dt & = \begin{cases} \int_0^{t_i} \left( 1 - \left[ 1 + \left( \frac{t_i}{\theta \exp(\beta_i x_i)} \right)^r \right]^{-1} \right) dt, & \text{if } 0 < y_i \leq c \\ 0 - (1 - S_i(t)) & = 0 - \left( 1 - \left[ 1 + \left( \frac{t_i}{\theta \exp(\beta_i x_i)} \right)^r \right]^{-1} \right), & \text{otherwise} \end{cases}, \text{ and } t_i = \min(y_i, c) \end{cases} \quad (3)$$

که در اینجا  $c$  زمان سانسورشدنگی از راست پس از جراحی است. در سیستم های سلامت هر نوع خطابی منجر به بر هم خوردن اینمی بیمار گشته و هزینه های جبران ناپذیری را برای کادر درمان، پزشک، بیمار و اطرافیان وی به وجود می آورد. بنابراین، با توجه به حساسیت در این سیستم ها، مطالعه حاضر فقط بر روی شناسایی بدتر شدن زمان بقای بیماران تمرکز می کند. برای این منظور، امتیاز های ناحیه به صورت رابطه (۴) تبدیل می شود:

$$S_i = \left[ \int_0^{t_i} (1 - S_i(t)) dt \right] = \left[ \int_0^{t_i} \left( 1 - \left[ 1 + \left( \frac{t_i}{\theta \exp(\beta_i x_i)} \right)^r \right]^{-1} \right) dt \right] \quad (4)$$

به منظور ارائه یک طرح نظارتی مؤثر و تفسیر پذیر، امتیاز ناحیه با نمودار کنترل EWMA ترکیب می شود. نمودار کنترل EWMA مشاهدات را یک به یک نظارت کرده که این عمل می تواند از تجمع داده ها جلوگیری کند. با در نظر اطلاعات گذشته و فعلی، برای تغییرات کوچک بر روی فرآیند اخیر حساس است. آماره EWMA ترکیبی شهودی و طبیعی را از امتیازات ناحیه EWMA می دهد که درک آن برای متخصصان بهداشت و درمان ساده است. بنابراین، ما در این مطالعه یک نمودار کنترل EWMA تعديل ریسک شده با امتیاز ناحیه را طراحی می کنیم که فرم آن به صورت رابطه (۵) نمایش داده می شود:

$$\square_i = \Lambda S_i + (1 - \Lambda) \square_{i-1}, \quad 0 < \Lambda \leq 1, \quad (5)$$

پارامتر هموارسازی  $\Lambda$  یک عدد بین صفر و یک است. لیو و همکاران نشان دادند یک پارامتر هموارسازی کوچک ( $\Lambda = 0.005$ ) می تواند در کشف تغییرات کوچک مؤثر باشد (Liu et al., 2018). ارزش ابتدایی  $\square_0$  برابر با میانگین امتیازات بیماران از یک فرایند تحت کنترل می باشد. از آنجاکه یک نمودار کنترل EWMA تعديل ریسک شده برای شناسایی تغییرات کاهشی ارائه شده است، تنها نیاز است که یک حد پایینی کنترل ( $LCL$ ) در نظر گرفته شود. از اینرو، زمانیکه  $\square < LCL$  باشد به این معنی است که فرایند فعلی در شرایط خارج از کنترل می باشد. بنابراین، تحقیقات بیشتری برای شناسایی علل زمینه ای مورد نیاز است و اقدامات اصلاحی باید برای اطمینان از بهبودی انجام شود.

ب) جنبه های اقتصادی نظارت بر بهداشت و درمان

در نظر گرفتن جنبه های اقتصادی طرح نظارتی، به صورت تعیین پارامترهای نمودار کنترل EWMA تعديل ریسک شده بر اساس حداقل سازی یکتابع هزینه مناسب تعریف می شود که این موضوع طراحی اقتصادی نمودار کنترل نام دارد. در بخش مقدمه اشاره شد که این پارامترها شامل اندازه نمونه ( $n$ )، فاصله نمونه گیری ( $h$ )، حد پایینی کنترل ( $LCL$ ) و پارامتر طراحی شده به منظور شناسایی بهینه تغییری خاص در نمودار ( $\square$ ) می باشند. در این زیربخش، به منظور تعیین پارامترهای بهینه نمودار کنترل EWMA تعديل ریسک شده از تابع هزینه لورنزن و ونس استفاده می گردد (Lorenzen & Vance, 1986). فرض بر این است که در یک دوره، فرایند فعالیت خود را از یک حالت تحت کنترل شروع می شود و تا زمان رخداد انحراف با دلیل  $\zeta$  به کار خود ادامه می دهد. سپس این انحراف شناسایی و اصلاح می گردد. هزینه انتظاری در واحد زمانی به صورت نسبت هزینه کل انتظاری در طول دوره یک دوره بر طول انتظاری یک دوره اندازه گیری می شود. هزینه کل انتظاری در یک دوره شامل هزینه های نمونه گیری، هزینه های تحمیل شده بر بیمارستان در شرایط خارج از کنترل برای هر بیمار و هزینه های شناسایی و بکارگیری اقدم

<sup>8</sup>. Lower Control Limit

اصلاحی برای هر انحراف با دلیل می باشد. علاوه بر این، طول انتظاری یک دوره شامل چهار قسمت می باشد: ۱) مدت زمانیکه فرایند در حالت تحت کنترل باقی می ماند که دارای توزیعی با حداقل  $s$  متغیر تصادفی نمایی مستقل است و دارای میانگین  $\sum_{j=1}^s \lambda_j / 1$  می باشد؛ ۲) مدت زمانیکه فرایند خارج از کنترل است؛ ۳) مدت زمان برای شناسایی و تشخیص انحرافات با دلیل؛ و ۴) زمان بکارگیری اقدامات اصلاحی در مورد انحرافات با دلیل (Rafiei et al., 2021). بنابراین، انتظاری یک دوره برابر است با:

$$Exp_T = \left\{ 1 + \left[ \sum_{j=1}^s \lambda_j \cdot [(h.(ARL_1)_j) - \tau_j] \right] + \left[ \sum_{j=1}^s \lambda_j \cdot (TI_j + TC_j) \right] \right\} / \sum_{j=1}^s \lambda_j \quad (6)$$

همچنین، هزینه کل انتظاری در طول یک دوره برابر است با:

$$Exp_C = \frac{CE}{h} \cdot \left[ \frac{1 + \left[ \sum_{j=1}^s \lambda_j \cdot [(h.(ARL_1)_j) - \tau_j] \right] + \left[ \sum_{j=1}^s \lambda_j \cdot (\gamma_{1j} TI_j + \gamma_{2j} TC_j) \right]}{\sum_{j=1}^s \lambda_j} \right] + \frac{\left[ \sum_{j=1}^s \lambda_j CO_j \cdot (ARL_1)_j \right] + \left[ \sum_{j=1}^s \lambda_j \cdot (CI_j + CC_j) \right]}{\sum_{j=1}^s \lambda_j} \quad (7)$$

که در روابط،  $ARL_0$  و  $ARL_1$  متوسط طول دنباله به ترتیب در حالت تحت کنترل و در شرایط خارج از کنترل هستند.  $\tau_i$  زمان انتظاری رخداد انحراف با دلیل  $j$  بین دو نمونه متوالی می باشد که با رابطه (8) تعیین می شود:

$$\left[ 1 - (1 + \lambda_j \cdot h) e^{-\lambda_j \cdot h} \right] / \left[ \lambda_j \cdot (1 - e^{-\lambda_j \cdot h}) \right] \quad (8)$$

$TI_j$  متوسط زمان برای شناسایی و  $TC_j$  متوسط زمان برای اجرای اقدامات اصلاحی برای انحراف با دلیل  $j$  هستند.  $CE$  هزینه های نمونه گیری برای هر بیمار و  $CO_j$  هزینه های تحمیل شده بر بیمارستان به علت شرایط خارج از کنترل هر بیمار به علت رخداد انحراف با دلیل  $j$  می باشند.  $CI_j$  هزینه اجرای اقدامات اصلاحی برای رفع انحراف با دلیل  $j$  می باشد.  $CC_j$  هزینه اجرای اقدامات اصلاحی برای رفع انحراف با دلیل  $j$  می باشد. علاوه بر این، اگر فرایند در طول شناسایی انحراف با دلیل  $j$  متوقف نشود  $\gamma_{1j}$  برابر با یک است، در غیر اینصورت مقدار صفر می گیرد و اگر فرایند در طول رفع انحراف با دلیل  $j$  متوقف نشود  $\gamma_{2j}$  برابر یک است، در غیر اینصورت مقدار صفر برای آن ثبت می شود. به طور کلی، هزینه انتظار در واحد زمانی تحمیل شده بر فرایند به شکل  $Exp_{C/T} = Exp_C / Exp_T$  خواهد بود. بنابراین، طراحی اقتصادی نمودار کنترل EWMA تعديل ریسک شده شامل تعیین پارامترهای بهینه ای است که  $Exp_{C/T}$  را به حداقل می رساند. در زیربخش بعدی، به منظور غلبه بر مشکلات مربوط به ویژگی های آماری ضعیف طراحی اقتصادی یک مدل چندهدفه پیشنهاد شده است.

#### ج) مدل چندهدفه طراحی اقتصادی آماری طرح نظراتی

در مسائل طراحی بهینه، هدف از مدل های چندهدفه پیدا کردن راه حل هایی است که به طور همزمان چندین هدف را برآورده کنند. این مدل ها دسته ای از مسائل تصمیم گیری چند معیاره بوده که از مجموعه ای از اهداف متناقض و محدودیت های تعریف شده تشکیل شده اند و به طور طبیعی با روش های برنامه ریزی ریاضی برای حل مسائل بهینه در ارتباط می باشند (Doosti & Moghadam, 2022). اشاره شد که مشکل اصلی طراحی اقتصادی نمودارهای کنترل این موضوع است که ویژگی های آماری را مورد توجه قرار نمی دهند. ویژگی های آماری عبارتند از احتمال خطاهای نوع اول و دوم،  $ARL_0$  و  $ARL_1$  متوسط زمان تا هشدار در شرایط تحت کنترل ( $ATS_0 = h.ARL_0$ ) و متوسط زمان تا هشدار در شرایط خارج از کنترل ( $ATS_1 = h.ARL_1$ ). در نتیجه برای دستیابی به ویژگی های آماری مطلوب، محدودیت های آماری متعددی به مدل اقتصادی اضافه شده و طراحی اقتصادی آماری ایجاد می گردد. ایده اصلی در این نوع طراحی، بهبود ویژگی های آماری است که با افزایش اندکی هزینه در مقایسه با طراحی اقتصادی امکان پذیر می شود. به عبارت دیگر، به کارگیری طراحی اقتصادی آماری می تواند بهبود عملکرد نمودارهای کنترل در شناسایی تغییرات را به همراه داشته باشد.

در این مقاله برای در نظر گرفتن همزمان هر دو ویژگی اقتصادی و آماری به صورت مطلوب، مدل چندهدفه نمودار کنترل EWMA تعديل ریسک شده توسعه داده شده است. در مدل پیشنهادی، مقادیر بهینه پارامترهای طراحی نمودار کنترل به گونه‌ای مشخص می‌شوند که تابع هزینه حداقل، و ویژگی‌های آماری  $ATS_0$  و  $ATS_1$  حداکثر گردند. مدل چندهدفه اقتصادی آماری نمودار کنترل EWMA تعديل ریسک شده به شکل زیر فرموله می‌شود:

$$\begin{aligned} \text{Min} \quad & Exp_{C/T}(D) \\ \text{Max} \quad & ATS_0(D) \\ \text{Max} \quad & 1/ATS_1(D) = \lambda / \sum_{j=1}^s \lambda_j ATS_{1,j}(D) \\ \text{s.t.} \quad & ATS_0(D) \geq ATS_0^L \\ & ATS_{1,j}(D) \leq ATS_1^U \end{aligned} \quad \text{(۹)} \quad \text{رابطه (۹)}$$

که در آن  $D = (n, h, LCL, UCL)$  یک ترکیب ممکن از پارامترهای طراحی است. علاوه بر این،  $ATS_0^L$  و  $ATS_1^U$  به ترتیب به کران بالایی متوسط زمان تا هشدار در شرایط خارج از کنترل و کران پایینی متوسط زمان تا هشدار در شرایط تحت کنترل اشاره دارند. بنابراین، انتخاب ترکیبی از پارامترها با ارزش‌های بهینه می‌تواند به عنوان یک مسئله چندهدفه مطابق با رابطه (۹) در نظر گرفته شود. در بخش بعدی یک رویکرد حل دو مرحله‌ای مبتنی بر بهینه‌سازی پارتی و تکنیک تاپسیس برای بهینه‌سازی مدل چندهدفه رابطه (۹) با جزئیات بیشتر توضیح داده می‌شود.

#### (د) رویکرد حل دو مرحله‌ای

به منظور حل مدل چندهدفه می‌توان رویکردهای مختلفی را بکار گرفت. با این وجود، بهینه‌سازی همزمان چند هدف، منجر به ایجاد راه حل‌های نامغلوب می‌گردد. الگوریتم‌های متنوعی برای شناسایی راه حل‌های نامغلوب در طراحی اقتصادی آماری نمودارهای کنترل استفاده شده است که از محبوب‌ترین آنها می‌توان به بهینه‌سازی پارتی (Rafiee et al., 2021)، الگوریتم ژنتیک مرتب‌سازی نامغلوب<sup>۹</sup> (Rafiee & Asadzadeh, 2022) و الگوریتم بهینه‌سازی ازدحام ذرات چندهدفه<sup>۱۰</sup> (Nasiri et al., 2024) اشاره داشت. با توجه به ماهیت این مطالعه و به دلیل گستره بودن فضای مسئله، برای حل بهینه مدل چندهدفه معرفی شده از بهینه‌سازی پارتی استفاده شده است. با این حال، هنگام استفاده از این نوع بهینه‌سازی و الگوریتم‌های مشابه یک چالش وجود دارد که اغلب راه حل‌های نامغلوب زیادی را ارائه داده و انتخاب مؤثرترین از مجموعه راه حل‌های نامغلوب بسیار دشوار است. با هدف غلبه بر این مشکل، تکنیک تاپسیس برای اولویت‌بندی راه حل‌های نامغلوب و انتخاب مطلوب‌ترین راه حل‌ها معرفی می‌شود. بنابراین، مطالعه حاضر یک رویکرد حل دو مرحله‌ای مبتنی بر بهینه‌سازی پارتی و تکنیک تاپسیس را برای دستیابی به راه حل‌های بهینه مدل چندهدفه اقتصادی آماری نمودار کنترل EWMA تعديل ریسک شده پیشنهاد می‌کند.

بهینه‌سازی پارتی: در بهینه‌سازی پارتی با استفاده از مفهوم غلبه، راه حل‌ها براساس نامغلوب‌ها مرتب‌سازی می‌شوند. به طور کلی به منظور نظم و ترتیب دادن به راه حل‌ها براساس سطوح نامغلوب‌ها، هر راه حلی با دیگر راه حل‌های موجود در جمعیت مقایسه شده، تا مغلوب بودن یا نبودن آن شناسایی گردد. در پایان، مجموعه‌ای از راه حل‌ها باقی می‌ماند که هیچ یک غالب و مغلوب هم نمی‌شوند. در نتیجه این راه حل‌ها سطحی را تشکیل می‌دهند که سطح پارتی نامیده می‌شود. در یک مسئله حداقل‌سازی با  $O$  تابع هدف، راه حل  $m$  در شرایطی بر راه حل  $n$  غلبه می‌کند که:

$$m < n \mid \forall_o : f_o(m) \leq f_o(n), \text{ and } \exists_o : f_o(m) < f_o(n). \quad \text{رابطه (۱۰)}$$

<sup>۹</sup>. Non-Dominated Sorting Genetic Algorithm (NSGA-II)

<sup>۱۰</sup>. Multi-Objective Particle Swarm Optimization (MOPSO)

که  $f(m)$  و  $f(n)$  ارزش های اهداف  $O^*$  بر اساس راه حل های  $m$  و  $n$  می باشند. رابطه (۱۰) به این معنی است که تمامی اهداف مرتبه با راه حل  $m$  کوچکتر یا مساوی توابع هدف مرتبه با راه حل  $n$  باشند. به عبارت دیگر،  $n$  از هیچ نظر از  $m$  بهتر نباشد و حداقل از یک نظر به طور اکید از  $n$  بهتر باشد (Brunelli & Fedrizzi, 2024).

تکنیک تاپسیس: تکنیک تاپسیس به منظور دستیابی به بهترین گزینه و بر اساس مفاهیم راه حل توافقی توسعه داده شده است. راه حل توافقی را می توان به عنوان انتخاب راه حل با کوتاه ترین فاصله مستقیم از راه حل ایده آل مثبت و دور ترین فاصله مستقیم از راه حل ایده آل منفی در نظر گرفت (Forozandeh & Roozbahani, 2023). رویکرد تاپسیس را می توان به صورت زیر توصیف کرد (Ghodha et al., 2022). مجموعه ای از گزینه ها به صورت  $\{A_k | k = 1, \dots, K\}$  و مجموعه ای از معیارها به صورت  $\{I_r | r = 1, \dots, R\}$  در نظر گرفته می شود. امتیاز های عملکرد نیز با  $p_{kr}$  نشان داده می شود و اوزان  $w_r$  می باشد. بر این اساس، می توان ماتریس تصمیم در تکنیک تاپسیس را در قالب جدول شماره (۱) نمایش داد.

جدول شماره (۱): ماتریس تصمیم تکنیک تاپسیس

		معیارها	
		گزینه ها	
I_r		...	I_1
$p_{1r}$	$\dots$	$p_{11}$	$A_1$
$\vdots$	$\vdots$	$\vdots$	$\vdots$
$p_{kr}$	$\dots$	$p_{k1}$	$A_k$
$w_r$	$\dots$	$w_1$	اوزان

اولین گام تکنیک تاپسیس محاسبه امتیاز های بی مقیاس شده با استفاده از رابطه زیر است:

$$b_{kr} = \frac{p_{kr}}{\sqrt{\sum_{k=1}^K p_{kr}^2}}, \quad k = 1, \dots, K; \quad r = 1, \dots, R. \quad \text{رابطه (۱۱)}$$

و سپس، امتیاز های بی مقیاس شده وزین به صورت زیر بدست می آید:

$$v_{kr} = w_r b_{kr}, \quad k = 1, \dots, K; \quad r = 1, \dots, R. \quad \text{رابطه (۱۲)}$$

در ادامه، نقطه ایده آل مثبت ( $A^+$ ) و نقطه ایده آل منفی ( $A^-$ ) بر طبق روابط (۱۳) و (۱۴) حاصل شده اند:

$$A^+ = \left\{ v_1^+, v_2^+, \dots, v_r^+, \dots, v_R^+ \right\} = \left\{ (\max_k v_{kr} | r \in R_1), (\min_k v_{kr} | r \in R_2) | k = 1, \dots, K \right\}, \quad \text{رابطه (۱۳)}$$

$$A^- = \left\{ v_1^-, v_2^-, \dots, v_r^-, \dots, v_R^- \right\} = \left\{ (\min_k v_{kr} | r \in R_1), (\max_k v_{kr} | r \in R_2) | k = 1, \dots, K \right\}. \quad \text{رابطه (۱۴)}$$

که در اینجا  $R_1$  و  $R_2$  به ترتیب، بیانگر شاخصه های سود و هزینه هستند.

گام بعدی محاسبه فاصله جدایی هر گزینه از نقطه ایده آل مثبت و نقطه ایده آل منفی است. مقادیر جدایی برای هر گزینه با استفاده از فاصله خط مستقیم و به گونه ای که در ادامه به آن اشاره شده، حاصل می شود:

$$Dis_k^* = \sqrt{\sum_{r=1}^R [v_{kr} - v_r^+]^2}, \quad k = 1, \dots, K, \quad \text{رابطه (۱۵)}$$

$$Dis_k^- = \sqrt{\sum_{r=1}^R [v_{kr} - v_r^-]^2}, \quad k = 1, \dots, K. \quad \text{رابطه (۱۶)}$$

و در گام نهایی تکنیک تاپسیس شباهت نسبی به نقطه ایده آل مثبت به صورت رابطه (۱۷) اندازه گیری می شود:

$$\Omega_k^* = Dis_k^- / (Dis_k^* + Dis_k^-), \quad k = 1, \dots, K. \quad \text{رابطه (۱۷)}$$

که به ازای هر  $k = 1, \dots, K$  عضوی بین صفر و یک است. سرانجام، بر اساس ترتیب نزولی شباهت نسبی به نقطه ایده آل مثبت به منظور انتخاب بهترین گزینه، می توان اولویت بندی را بدست آورد.

### ۳- نتایج و بحث

الف) بررسی بیماران قلبی در یک بیمارستان دولتی در این زیربخش، کاربرد طرح نظارتی EWMA تعديل ریسک شده در یک بیمارستان دولتی جراحی قلب واقع در شهرستان کرمانشاه مورد بررسی قرار گرفته است. در این بیمارستان نوع خاصی از عمل بهنام جراحی با پس عروق کرونر (CABG<sup>۱۱</sup>) انتخاب شد و اطلاعات مربوط به ۱۰۰ بیمار در طول زمان جمع‌آوری گشت. اطلاعات شامل تاریخ جراحی، نام جراح، روش جراحی، زمان بقا و امتیاز عامل ریسک بودند. قبل از شرح داده شد که امتیاز عمل ریسک، یک ترکیب وزنی از ریسک‌های قبل از عمل برای هر بیمار است و در مطالعه حاضر در فرایند جراحی به عنوان تنها متغیر تأثیرگذار بر زمان بقا در نظر گرفته می‌شود. ریسک‌های قبل از عمل احتمالی برای هر بیمار در فرایند جراحی قلب (Rafiei & Asadzadeh, 2022) در جدول شماره (۲) در جدول شماره (۲): ریسک‌های قبل از عمل بیماران استفاده شده برای محاسبه امتیاز عامل ریسک فهرست شده است.

جدول شماره (۲): ریسک‌های قبل از عمل بیماران استفاده شده برای محاسبه امتیاز عامل ریسک

عوامل ریسک	عوامل ریسک	وزن تخصیص- یافته	عوامل ریسک	وزن تخصیص- یافته	وزن تخصیص- یافته
جنسیت مؤنث					
سن: ۷۰ تا ۷۵ - ۷۶ تا ۷۹ - ۸۰ تا ...					
قند خون					
فشار خون					
چاقی مفرط: بیش از یک و نیم برابر وزن ایده‌آل					
نارسایی قلبی					
بیماری مزمن انسداد ریوی					
کسر جهشی: پایین ۳۰% - بین ۳۰% تا ۴۹%					
انسداد شریان کرونر					
بالون پمپ داخل آنورت					
جراحی مجدد					
ناتوانی قلب در پمپاژ خون یا سکته قلبی					
عفونت فعال در لایه داخلی قلب					
نارسایی دریچه سه‌لتی یا تری کوسپید					
آنفارکتوس قلبی					
نقص دیواره بطئی	۶	۱۲	حمله بطئی یا لرزش بطئی	۱۱ - ۷ - ۲/۵	۱
آسم	۳	۱	وجود ایتوپه در عمل	۳	۴
پورپورای ناشناس کاهش پلاکت	۱	۱۲	پورپورای ناشناس کاهش پلاکت	۶	۱۱
التهاب شدید کبدی	۲/۵	۱۲/۵	وابستگی به دیالیز	۸ - ۶/۵	۱۳/۵
نارسایی مزمن کلیه	۲/۵	۳/۵	بیماری شریان کلیه	۴	۲
بیماری شریان کلیه	۱۰	۳/۵	بیماری‌های عروق محيط	۱۰	۳/۵
عدم پذیرش فرآورده‌های خونی	۱۲	۱۱	اختلالات نورولوژی	۶/۵	۵
وجود استنند یا فتر	۵	۵/۵	صرف دخانیات	۴	۴/۵

با اندازه‌گیری امتیاز عامل ریسک برای هر بیمار، تأثیر آن با بهره‌گیری از مدل AFT مبتنی بر توزیع لگ‌لوجستیک، بر روی زمان بقای بیمار تعديل می‌گردد. براساس قوانین و استانداردهای بیمارستان زمان بقای بیمارانی که در طول مطالعه زنده ماندند در ۱۴ روز سانسور شد. در ابتدا، داده‌های مربوط به ۱۰۰ بیمار جمع‌آوری گشت و با بکارگیری نرمافزار Minitab 19.2 مشخص شد که این داده‌های امتیاز عامل ریسک، دارای توزیع گاما با پارامترهای مقیاس و شکل به ترتیب برابر  $4/59$  و  $4/545$  می‌باشند. در ادامه، روش برآورد درستنمایی بیشینه (MLE<sup>۱۲</sup>) استفاده شد تا مقادیر پارامترهای تحت کنترل مدل AFT مبتنی بر توزیع لگ-لوجستیک برآورد شوند و مشخص گردید که  $\beta_0 = ۰/۰۲۱$ ،  $\beta_1 = ۰/۰۲۴$  و  $\beta_2 = ۰/۰۱۹۴$  می‌باشد. بنابراین، می‌توان با استفاده از رابطه (۲) تابع بقای مدل AFT مبتنی بر توزیع لگ‌لوجستیک و سپس با استفاده از رابطه (۴) امتیاز ناحیه نمودار کنترل EWMA تعديل ریسک شده را محاسبه کرد.

مهم‌ترین قسمت این مطالعه، استقرار نمودار کنترل EWMA تعديل ریسک شده در فرایند CABG است که برای این هدف ضروری است تا چهار پارامتر طراحی این نمودار کنترل مشخص گردد. به علت حساسیت بسیار بالا در حوزه بهداشت و درمان برای نظارت بر هر بیمار، تمامی بیماران به صورت جداگانه و پشت‌سرهم نظارت می‌شوند. از این‌رو، مقدار  $n$  ثابت و برابر با عدد یک می‌باشد. همچنین، مقدار  $h$  ثابت و برابر با عدد ۱۲ است زیرا در بیمارستان دولتی جراحی قلب واقع در شهرستان کرمانشاه

<sup>11</sup>. Coronary Artery Bypass Graft

<sup>12</sup>. Maximum Likelihood Estimation

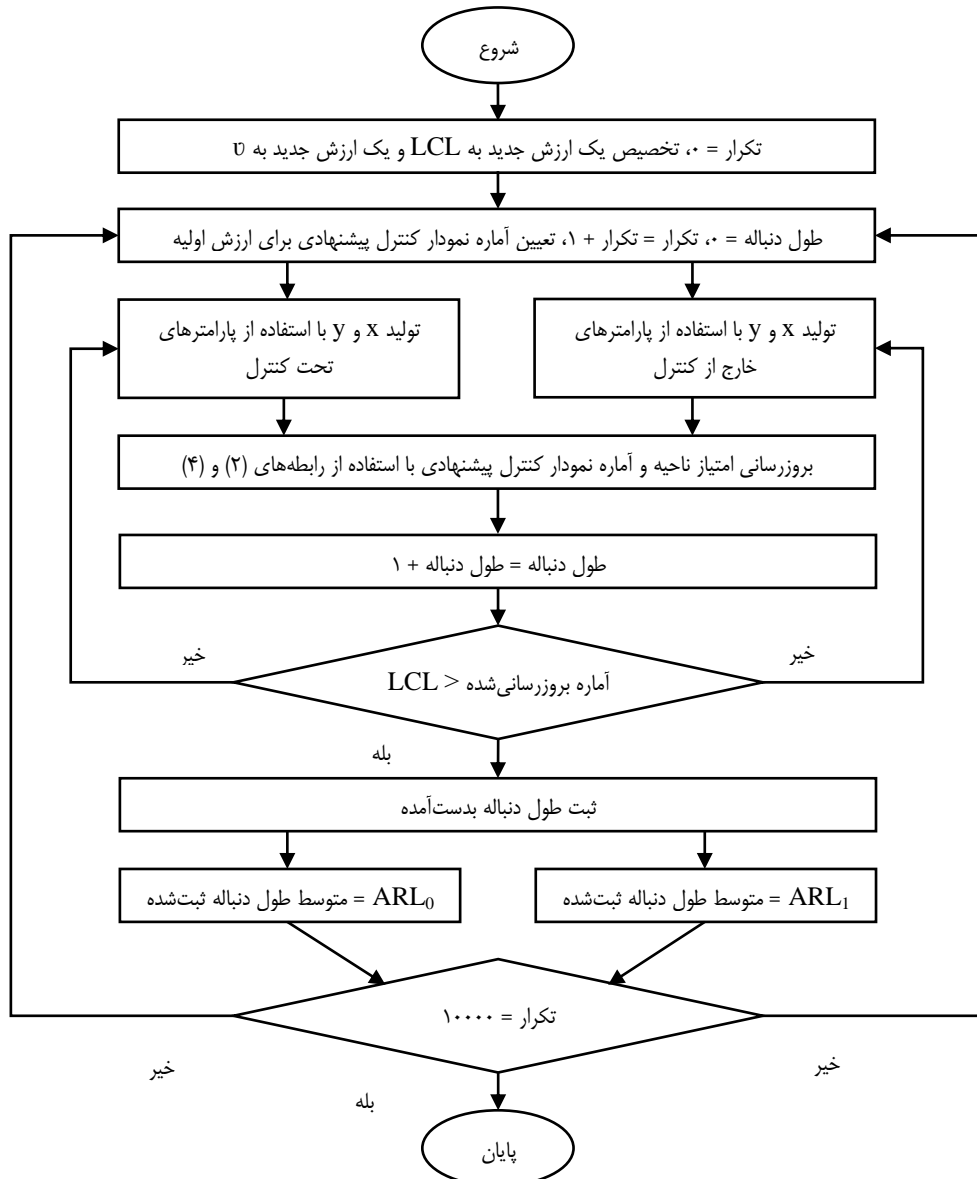
بیماران هر ۱۲ ساعت جراحی می شوند. بنابراین، بهینه سازی در مورد این دو پارامتر در نظر گرفته نشده است. از طرف دیگر، مقدار پارامتر ۷ در بازه ۰/۰۱ تا ۰/۲ قرار دارد که با مقدار ۰/۰۱ جابجا می گردد و محدوده پارامتر LCL از ۰/۷۵ تا ۰/۰۱ بوده که این پارامتر نیز با مقدار ۰/۰۱ تعییر می کند. بنابراین، ضروری است مقدار این دو پارامتر به گونه ای مشخص شوند که ویژگی های آماری و اقتصادی به طور همزمان برآورده گردند. پیشتر دلیل تمکن بر تعیین ۷ و LCL شرح داده شد و پیشنهاد گردید که برای مقابله با پایین آمدن اینمی بیمار و جلوگیری از هزینه های جبران ناپذیر برای پزشک، قادر درمان، بیمار و اطرافیان یک نمودار کنترل یک طرفه با هدف شناسایی سریع تغییرات کاهشی مورد استفاده قرار گیرد. در نتیجه، مدل چندهدفه اقتصادی آماری پیشنهادی، در تلاش بود تا ترکیبی از پارامترهای نمودار کنترل EWMA تعديل ریسک شده یعنی (LCL, ۷) را به صورتی انتخاب کند تا اهداف مطلوب حداقل هزینه انتظاری و حداقل ویژگی های آماری حاصل شوند.

در فرایند جراحی، درمان و بهبودی بیماران CABG دو انحراف با دلیل به نام های خطاهای دارویی و خرابی دستگاه ونتیلاتور (دستگاه تنفس مصنوعی) مشاهده شد. مشخص گردید که نرخ رخداد انحراف با دلیل مربوط به خطاهای دارویی ۸۱ برابر ۰/۰۲۵ ساعت و نرخ رخداد انحراف با دلیل مربوط به خرابی دستگاه ونتیلاتور ۲/۸ برابر ۰/۰۰۵ ساعت است که هر یک با ایجاد تغییرات کاهشی به ترتیب، ۹۰٪ و ۹۵٪ زمان بقای بیمار را کاهش می دهند. برای بگارگیری یک نمودار کنترل اقتصادی آماری EWMA تعديل ریسک شده در فرایند CABG، نیاز است تا با توجه به رخداد هر یک از انحرافات با دلیل خطاهای دارویی و خرابی دستگاه ونتیلاتور، هزینه ها و زمان های مربوط به اجرای این فرایند مشخص شوند. نمونه گیری از بیماران به صورت انجام تعدادی از اقدامات و آزمایشات انجام گرفت و نتیجه آن در قالب امتیاز عامل ریسک بیان شد که هزینه مربوط به آن برای هر بیمار ۲۰۰۰۰۰ ریال ثبت شد. با رخداد یک انحراف با دلیل فرایند CABG به شرایط خارج از کنترل رفته و بیمارانی که در این حالت تحت جراحی قرار گرفتند، هزینه هایی را به بیمارستان تحمیل می کنند. هزینه تحمیل شده به بیمارستان در شرایط خارج از کنترل، به دلیل رخداد انحراف با دلیل مربوط به خطاهای دارویی شامل هزینه های آزمایش، اکو کار دیوگرافی، آنژیوگرافی، مشاوره، جراحی، اتفاق عمل، بیهوشی، لوازم مصرفی، داروی مصرفی، تخت ICU برای دو شب، خدمات پرستاری و تخت بخش برای هشت شب است که مقدار آن ۵۳۳۷۳۰۰۰ ریال می باشد. همچنین، هزینه تحمیل شده به بیمارستان در شرایط خارج از کنترل، به دلیل رخداد انحراف با دلیل مربوط به خرابی دستگاه ونتیلاتور شامل هزینه های آزمایش، اکو کار دیوگرافی، آنژیوگرافی، مشاوره و داروی مصرفی با مقدار ۲۳۹۳۰۰۰ ریال است.

علاوه بر این، در فرایند CABG پس از رخداد هر یک از انحرافات با دلیل مذکور، فرایند به شرایط خارج از کنترل رفته و لازم است که برای شناسایی و اصلاح انحراف با دلیل مربوطه، جستجوها و اقداماتی صورت گیرد. در نتیجه، مدت زمانی باید صرف شناسایی انحراف با دلیل و اقدامات اصلاحی برای برطرف نمودن آن شود. با این حال، متوسط زمان مورد نیاز برای شناسایی انحراف با دلیل ناشی از خطاهای دارویی چهار ساعت بوده که شامل مدت زمان برای برگزاری کمیته تخصصی و بررسی سامانه سیستم ثبت خطا شده است و اصلاح آن نیز به طور متوسط دو ساعت زمان نیاز دارد. همچنین، برای شناسایی انحراف با دلیل ناشی از خطاهای دارویی به طور متوسط هزینه ای با مقدار ۲۰۰۰۰۰۰ ریال در نظر گرفته شده است و اصلاح خطاهای دارویی به طور متوسط ۱۶۰۰۰۰۰ ریال هزینه به همراه دارد. از طرف دیگر، هنگامیکه تشخیص داده می شود که فرایند به دلیل رخداد انحراف با دلیل دیگری با عنوان خرابی دستگاه ونتیلاتور به شرایط خارج از کنترل انتقال پیدا کرده است، اولین اقدام صورت گرفته اینست که مهندس تجهیزات پزشکی بیمارستان به محل مشکل ایجاد شده فراخوانده می شود. متوسط زمانی که مهندس تجهیزات پزشکی نیاز داشته تا خطای مربوط به دستگاه را پیدا کند، چهار ساعت بوده و شناسایی مشکل ناشی از این خطا به طور متوسط مقدار هزینه ۱۴۵۰۰۰۰ ریال را به بیمارستان تحمیل می کند. اما متوسط زمانی که دستگاه برای تعمیر و رفع عیب از دسترس خارج می شود ۸۰ ساعت است و برای تعمیر و یا تعویض به طور متوسط ۱۵۰۰۰۰۰۰ ریال هزینه در نظر گرفته شده است. لازم به ذکر است که فرایند در طول شناسایی انحرافات با دلیل مربوط به خطاهای انسانی و مربوط به خرابی دستگاه

و نتیلاتور و اصلاح خطاهای انسانی متوقف نمی شود، اما در طول رفع انحراف با دلیل ناشی از خرابی دستگاه و نتیلاتور متوقف می گردد.

در ادامه، با توجه به مقادیر برآورده از پارامترهای توزیع گاما و مدل AFT لگ لجستیک، مطالعات شبیه سازی به جهت مقایسه عملکرد شاخص های آماری به اجرا درآمد. باید توجه شود که به منظور کمینه کردن خطاهای برآورده، اجرای شبیه سازی ۱۰۰۰۰ بار تکرار شد. مقادیر شاخص آماری  $ARL_0$  بدون در نظر گرفتن تغییر در داده ها محاسبه گشت، در حالیکه، مقادیر شاخص آماری  $ARL_1$  در مواردی بدست آمد که در فرایند به دلیل رخداد انحرافات با دلیل ناشی از خطاهای دارویی و خرابی دستگاه و نتیلاتور به ترتیب به میزان ۹۵٪ و ۹۰٪ کاهش در میانگین زمان بقا وجود دارد. شکل شماره (۱) رویه کار الگوریتم شبیه سازی برای محاسبه  $ARL_0$  و  $ARL_1$  نمودار کنترل EWMA تعديل ریسک شده را به تصویر می کشد.



شکل شماره (۱): الگوریتم محاسبه  $ARL_0$  و  $ARL_1$

همچنین، با هدف پیشگیری از رخداد بالای هشدار اشتباهی و رسیدن به قدرت قابل قبول شناسایی تغییرات، محدودیت های آماری  $ATS_{1j} \leq 60$  و  $ATS_0 \geq 240$  بر روی شاخص های آماری مدل چندهدفه در رابطه (۹) تعیین شدند. سپس، با توجه به اطلاعات فوق، هزینه انتظاری هر واحد زمانی مربوط به استفاده از نمودار کنترل EWMA تعديل ریسک شده در فرایند جراحی، درمان و بهبودی بیماران CABG حاصل خواهد شد. در نهایت، به منظور بهینه سازی مدل چندهدفه طراحی اقتصادی آماری

رابطه (۹) و دستیابی به بهترین ترکیب ممکن از پارامترهای طراحی نمودار کنترل EWMA تعديل ریسک شده، رویکرد حل دو مرحله‌ای حل به اجرا درآمد. پس از اینکه ۱۵۰۰ راه حل بالقوه به صورت ترکیب (LCL, LCL) در نظر گرفته شد، با استفاده از محدودیت‌های شاخص‌های آماری راه حل‌های غیرممکن کنار گذاشته شدند. سپس، از میان راه حل‌های باقیمانده، با استفاده از قوانین بهینه‌سازی پارتو، ۱۶ راه حل مطابق با جدول شماره (۳) به عنوان راه حل‌های نامغلوب انتخاب شدند. لازم به ذکر است تمامی محاسبات مربوط به بهینه‌سازی پارتو، تحت برنامه‌های کدشده در محیط نرم‌افزار بهینه‌سازی متلب نسخه ۲۰۱۶ تسهیل شد.

جدول شماره (۳): راه حل‌های نامغلوب مدل طراحی چندهدفه اقتصادی آماری پیشنهادی

ادامه جدول شماره (۳)				توابع هدف			پارامترها
ATS <sub>1</sub>	ATS <sub>0</sub>	Exp <sub>C/T</sub>	(v, LCL)	ATS <sub>1</sub>	ATS <sub>0</sub>	Exp <sub>C/T</sub>	(v, LCL)
۳۹/۹۳	۷۰/۱/۱۵	۳۱۳۵۷۴۷/۴۵	(۰/۰۴, -۰/۳۰)	۵۵/۳۳	۱۶۱۰/۳۳	۳۶۸۳۷۸۹/۵۰	(۰/۰۱, -۰/۴۱)
۴۰/۱۲	۷۱۴/۸۰	۳۱۴۲۹۸۱/۲۲	(۰/۰۴, -۰/۶۶)	۵۶/۲۷	۱۶۱۸/۶۶	۳۷۱۴۹۲۷/۳۲	(۰/۰۱, -۰/۴۲)
۴۰/۴۶	۷۵۸/۲۴	۳۱۵۵۸۶۰/۰۶	(۰/۰۴, -۰/۶۸)	۵۶/۳۹	۱۶۲۱/۳۲	۳۷۱۸۹۹۳/۸۷	(۰/۰۱, -۰/۴۷)
۴۰/۷۸	۷۵۹/۶۳	۳۱۶۷۷۸۸/۸۰	(۰/۰۴, -۰/۷۴)	۵۷/۰۰	۱۶۹۰/۹۷	۳۷۳۸۷۱۱/۲۷	(۰/۰۱, -۰/۶۰)
۳۹/۳۸	۶۱۷/۹۲	۳۱۱۴۴۷۵/۰۵	(۰/۰۵, ۰/۳۶)	۵۶/۹۸	۱۶۴۹/۱۲	۳۷۳۸۲۴۰/۲۰	(۰/۰۱, -۰/۶۲)
۳۹/۳۹	۶۶۴/۵۹	۳۱۱۴۸۸۹/۶۲	(۰/۰۵, ۰/۵۵)	۴۴/۴۹	۱۰۱۹/۶۸	۳۳۰۵۹۴۹/۸۸	(۰/۰۲, -۰/۲۶)
۵۰/۹۱	۵۷۶/۸۸	۳۰۹۶۰۸/۴۸	(۰/۰۶, -۰/۴۰)	۴۵/۲۰	۱۰۶۱/۶۲	۳۳۳۱۹۰۷/۸۶	(۰/۰۲, ۰/۴۳)
۳۹/۱۲	۶۱۰/۵۶	۳۱۰۴۶۵۱/۲۳	(۰/۰۶, -۰/۶۶)	۴۴/۵۹	۱۰۵۶/۷۶	۳۳۰۹۸۱۲/۷۶	(۰/۰۲, ۰/۶۶)
۳۹/۰۹	۵۷۸/۸۴	۳۱۰۳۲۱۹/۵۰	(۰/۰۷, -۰/۶۴)	۴۵/۵۶	۱۰۹۷/۵۲	۳۳۳۴۸۴۴/۹۴	(۰/۰۲, ۰/۷۰)
				۴۱/۷۹	۸۵۴/۴۴	۳۲۰۶۰۲۲/۳۲	(۰/۰۳, -۰/۴۶)

در ادامه برای بهینه‌سازی نهایی راه حل‌های نامغلوب و اولویت‌بندی آنها، تکنیک تصمیم گیری تاپسیس مورد استفاده قرار گرفت. در تکنیک تاپسیس، هر راه حل یا ترکیب پارامترهای طراحی در قالب یک گزینه ماتریس تصمیم گیری در نظر گرفته شد. از اینرو، جدول شماره (۳) به صورت ماتریس تصمیم گیری اولیه شناخته شد که در آن پارامترهای طراحی معرف گزینه‌ها بودند و سهتابع هدف در جایگاه معیارهای ارزیابی قرار گرفتند که دو معیار Exp<sub>C/T</sub> و ATS<sub>1</sub> ماهیت منفی هستند. براساس اولین گام تکنیک تاپسیس امتیازهای بی مقیاس شده ماتریس تصمیم گیری با بکارگیری رابطه (۱۱) محاسبه شد و در ادامه، امتیازهای بی مقیاس شده وزین با بهره‌گیری از رابطه (۱۲) و به صورت جدول شماره (۴) حاصل شد. در این مطالعه، اهمیت و وزن تابع هزینه و ویژگی‌های آماری از دیدگاه کارشناسان حرفه‌ای بهداشت و درمان یکسان در نظر گرفته شد و مقدار ۰/۳۳۳ برای هریک تعریف گردید.

جدول شماره (۴): امتیازات بی مقیاس شده وزین ماتریس تصمیم گیری

ادامه جدول شماره (۴)				توابع هدف			پارامترها
ATS <sub>1</sub>	ATS <sub>0</sub>	Exp <sub>C/T</sub>	(v, LCL)	ATS <sub>1</sub>	ATS <sub>0</sub>	Exp <sub>C/T</sub>	(v, LCL)
-۰/۰۶۶	۰/۰۴۹	-۰/۰۷۲	(۰/۰۴, -۰/۳۰)	-۰/۰۹۱	-۰/۱۱۳	-۰/۰۸۴	(۰/۰۱, -۰/۴۱)
-۰/۰۶۶	۰/۰۵۰	-۰/۰۷۲	(۰/۰۴, -۰/۶۶)	-۰/۰۹۳	-۰/۱۱۳	-۰/۰۸۵	(۰/۰۱, -۰/۴۲)
-۰/۰۶۷	۰/۰۵۳	-۰/۰۷۲	(۰/۰۴, -۰/۶۸)	-۰/۰۹۳	-۰/۱۱۳	-۰/۰۸۵	(۰/۰۱, -۰/۴۷)
-۰/۰۶۷	۰/۰۵۳	-۰/۰۷۳	(۰/۰۴, -۰/۷۴)	-۰/۰۹۴	-۰/۱۱۸	-۰/۰۸۶	(۰/۰۱, -۰/۶۰)
-۰/۰۶۵	۰/۰۴۳	-۰/۰۷۱	(۰/۰۵, ۰/۳۶)	-۰/۰۹۴	-۰/۱۱۵	-۰/۰۸۶	(۰/۰۱, -۰/۶۲)
-۰/۰۶۵	۰/۰۴۶	-۰/۰۷۱	(۰/۰۵, ۰/۵۵)	-۰/۰۷۳	-۰/۰۷۱	-۰/۰۷۶	(۰/۰۲, -۰/۲۶)
-۰/۰۸۱	۰/۰۴۰	-۰/۰۷۱	(۰/۰۶, -۰/۴۰)	-۰/۰۷۵	-۰/۰۷۴	-۰/۰۷۶	(۰/۰۲, ۰/۴۳)
-۰/۰۶۴	۰/۰۴۳	-۰/۰۷۱	(۰/۰۶, -۰/۶۶)	-۰/۰۷۴	-۰/۰۷۴	-۰/۰۷۶	(۰/۰۲, ۰/۶۶)
-۰/۰۶۴	۰/۰۴۰	-۰/۰۷۱	(۰/۰۷, -۰/۶۴)	-۰/۰۷۵	-۰/۰۷۷	-۰/۰۷۷	(۰/۰۲, ۰/۷۰)

با توجه به نتایج حاصل از جدول شماره (۴) و بر طبق روابط (۱۳) و (۱۴)، نقطه ایده‌آل مثبت و نقطه ایده‌آل منفی برای هر معیار مشخص شد. بنابراین، نقطه ایده‌آل مثبت برای معیارهای  $Exp_{C/T}$  و  $ATS_1$  به ترتیب برابر با  $0/071$  و  $0/064$  و  $0/064$  است. ثبت شد و نقطه ایده‌آل منفی برای این معیارها به ترتیب با مقادیر  $0/086$ ،  $0/040$  و  $0/094$  برابر گشت.

در گام بعدی، مقادیر جدایی برای هر گزینه یا ترکیب پارامترهای طراحی از نقطه ایده‌آل مثبت و نقطه ایده‌آل منفی با استفاده از فاصله خط مستقیم اندازه‌گیری شد که به نتایج آن در جدول شماره (۵) اشاره شده است. علاوه بر این، در گام نهایی تکنیک تاپسیس شباهت نسبی به نقطه ایده‌آل مثبت به صورت رابطه (۱۷) محاسبه می‌شود که نتایج این گام نیز در جدول شماره (۵) موجود است.

جدول شماره (۵): مقادیر جدایی از نقاط ایده‌آل مثبت و منفی و مقدار شباهت نسبی به ایده‌آل مثبت

$\Omega_k^*$	$Dis_k^-$	$Dis_k^*$	پارامترهای طراحی	$\Omega_k^*$	$Dis_k^-$	$Dis_k^*$	پارامترهای طراحی
$0/320$	$0/033$	$0/069$	$(0/04, -0/30)$	$0/704$	$0/072$	$0/030$	$(0/01, -0/41)$
$0/322$	$0/032$	$0/068$	$(0/04, -0/66)$	$0/694$	$0/073$	$0/032$	$(0/01, -0/42)$
$0/325$	$0/033$	$0/065$	$(0/04, -0/68)$	$0/694$	$0/073$	$0/032$	$(0/01, -0/47)$
$0/332$	$0/032$	$0/065$	$(0/04, -0/74)$	$0/703$	$0/078$	$0/033$	$(0/01, -0/60)$
$0/302$	$0/033$	$0/075$	$(0/05, 0/36)$	$0/694$	$0/075$	$0/033$	$(0/01, -0/62)$
$0/314$	$0/033$	$0/072$	$(0/05, 0/55)$	$0/445$	$0/039$	$0/048$	$(0/02, -0/26)$
$0/200$	$0/020$	$0/080$	$(0/06, -0/40)$	$0/469$	$0/040$	$0/045$	$(0/02, 0/43)$
$0/304$	$0/033$	$0/076$	$(0/06, -0/66)$	$0/471$	$0/041$	$0/046$	$(0/02, 0/66)$
$0/297$	$0/033$	$0/078$	$(0/07, -0/64)$	$0/493$	$0/042$	$0/043$	$(0/02, 0/70)$
				$0/366$	$0/034$	$0/059$	$(0/03, -0/46)$

سرانجام، بر اساس ترتیب نزولی شباهت نسبی به نقطه ایده‌آل مثبت به منظور انتخاب بهترین گزینه، اولویت‌بندی ترکیب پارامترهای طراحی شکل گرفت که از خروجی‌های جدول شماره (۵) مشاهده می‌شود سه راه حل  $(0/01, -0/41)$ ،  $(0/01, -0/40)$  و  $(0/01, -0/42)$  با امتیازان به ترتیب  $0/704$ ،  $0/069$  و  $0/064$ ، به عنوان سه ترکیب با اولویت بالاتر در پارامترهای طراحی بهینه نمودار کنترل EWMA تعديل ریسک شده در نظر گرفته می‌شوند که در میان آنها راه حل  $LCL = 0/041$  و  $UCL = 0/01$  با هزینه انتظاری در واحد زمانی برابر با  $3683789/50$  ریال، متوسط زمان تا هشدار در شرایط تحت کنترل  $1610/11$  و متوسط زمان تا هشدار در شرایط خارج از کنترل  $55/33$  به عنوان ترکیب برتر انتخاب شده است. در نتیجه، طراحی نمودار کنترل EWMA تعديل ریسک شده با استفاده از پارامترهای  $LCL = 0/01$  و  $UCL = 0/041$ ، مطلوب‌ترین ملاحظات اقتصادی و آماری در فرایند جراحی و بهبودی بیماران CABG را ترکیب می‌کند.

ب) مقایسه مدل چندهدفه پیشنهادی با مدل تک‌هدفه

در ادامه، به منظور تأیید اثربخشی مدل چندهدفه طراحی اقتصادی آماری نمودار کنترل EWMA تعديل ریسک شده در حضور اخراجات با دلیل چندگانه، یک مقایسه بین این مدل و مدل تک‌هدفه طراحی خالص اقتصادی آن صورت پذیرفت که خروجی‌های این مقایسه در جدول شماره (۶) ارائه شده است:

جدول شماره (۶): مقایسه مدل چندهدفه و مدل تک‌هدفه طراحی نمودار کنترل EWMA تعديل ریسک شده

مدل	نوع طراحی	پارامترهای طراحی	اقتصادی آماری	مدل	نوع طراحی	پارامترهای طراحی	اقتصادی آماری
چندهدفه				چندهدفه	$3683789/50$	$(0/01, -0/41)$	$0/01$
تک‌هدفه				تک‌هدفه	$3096608/48$	$(0/06, -0/40)$	$0/06$

از داده‌های جدول فوق مشخص است که هزینه انتظاری هر واحد زمانی در مدل چندهدفه طراحی اقتصادی آماری نسبت به مدل تک‌هدفه طراحی خالص اقتصادی آن،  $18\%$  افزایش داشته است. اما با وجود این افزایش در هزینه، به میزان بیش از  $100\%$  افزایش در شاخص آماری متوسط زمان تا هشدار در شرایط تحت کنترل را مشاهده می‌کنیم. همچنین، برای متوسط زمان تا

هشدار در حالت خارج از کنترل برای هر دو نوع مدل طراحی تفاوت چشم گیری وجود ندارد. بنابراین، با استفاده از طراحی چندهدفه اقتصادی آماری می توان با افزایش مقدار کمی در هزینه انتظاری هر واحد زمانی، عملکرد آماری نمودار کنترل EWMA تعديل ریسک شده را به طور قابل ملاحظه ای بهبود بخشد، به گونه ای که هر دو ملاحظات اقتصادی و آماری به طور همزمان در سطح مطلوبی در نظر گرفته شوند.

ج) نتیجه گیری و پیشنهادات به مظور انجام پژوهش های آتی

به طور کلی، بر اساس تجزیه و تحلیل های صورت گرفته در این مطالعه می توان نتیجه گیری کرد که:

- بهینه سازی پارتو به درستی ۱۹ راه حل نامغلوب را از مجموعه بزرگی از راه حل ها شناسایی کرد که هر راه حل معرف یک ترکیب از پارامترهای طراحی نمودار کنترل EWMA تعديل ریسک شده یعنی ( $U$ , LCL) بود.
- تکنیک تصمیم گیری تا پسیس توانست راه حل های نامغلوب را بر اساس معیارهای  $Exp_{CT}$ ,  $ATS_0$  و  $ATS_1$  به طور دقیق اولویت بندی کند.
- به منظور بکارگیری نمودار کنترل EWMA تعديل ریسک شده در بیمارستان دولتی جراحی قلب واقع در شهرستان کرمانشاه، پارامترهای  $U$  و LCL باید به ترتیب بر روی مقادیر  $0.01/0.01$  و  $-0.04/0.04$  تنظیم شوند.
- استفاده از نمودار کنترل EWMA تعديل ریسک شده با پارامترهای انتخابی، با  $Exp_{CT}$  برابر با  $3683789/50$ ,  $ATS_0$  برابر با  $1610/11$  و  $ATS_1$  برابر با  $55/33$ ، بهترین طراحی اقتصادی آماری این نمودار کنترل می باشد.
- نتایج بهوضوح نشان می دهد که طراحی چندهدفه اقتصادی آماری نسبت به طراحی تک هدفه خالص اقتصادی، عملکرد بهتری دارد، زیرا با افزایش جزئی در هزینه انتظاری بر واحد زمانی، ویژگی های آماری را به طور چشم گیری افزایش می دهد.

در نتیجه، روش پیشنهادی برای ایجاد نمودار کنترل EWMA تعديل ریسک شده می تواند به طور مؤثری برای شناسایی تغییرات کاهشی در زمان بقای بیماران قلبی در سیستم های بهداشت و درمان مورد استفاده قرار گیرد. با توجه به بررسی های انجام شده در این مطالعه و به منظور بالا بردن کارایی و کاربرد رویکرد پیشنهادی می توان موارد زیر را به عنوان زمینه ای برای پژوهش های آتی مد نظر قرار داد:

- مقایسه نتایج بدست آمده از این مطالعه با دیگر روش های مورد استفاده برای ایجاد نمودارهای کنترل مانند رویکردهای ناپارامتریک.
- چگونگی ترکیب همبستگی در حین استفاده از مدل رگرسیون AFT می تواند یک حوزه بالقوه مفید برای تحقیقات آینده باشد. همچنین، دیگر مدل رگرسیون تحلیل بقا علاوه بر مدل AFT، مدل مخاطره متناسب کاکس (PH)<sup>۱۳</sup> می باشد. بنابراین، رویکرد ممکن پیشنهادی بکارگیری مدل PH است که می توان در زمینه ایجاد نمودار کنترل EWMA تعديل ریسک شده از آن استفاده کرد و بحث را در این زمینه پیش برد.

#### ۴- منابع

- Amiri, A., Moslemi, A., & Doroudyan, M. H. (2015). Robust economic and economic-statistical design of EWMA control chart. *The International Journal of Advanced Manufacturing Technology*, 78, 511-523.
- Begin, A., Kulinskaya, E., & MacGregor, A. J. (2019). Risk-adjusted CUSUM control charts for shared frailty survival models with application to hip replacement outcomes: a study using the NJR dataset. *BMC medical research methodology*, 19(1), 1-15.
- Brunelli, M., & Fedrizzi, M. (2024). Inconsistency indices for pairwise comparisons and the Pareto dominance principle. *European Journal of Operational Research*, 312(1), 273-282.

<sup>13</sup>. Proportional Hazard

- Ding, N., He, Z., Shi, L., & Qu, L. (2021). A new risk-adjusted EWMA control chart based on survival time for monitoring surgical outcome quality. *Quality and Reliability Engineering International*, 37(4), 1650-1663.
- Doosti, A., & Rezaie Moghadam, S. (2022). Presenting a multi-objective mathematical model of multi-product and multi-stage fuzzy production planning for several periods in Gamz software. *Journal of Strategic Management in Industrial Systems*, 59(59), 99-112. (In Persian).
- Ghodha, V., Dubey, R., Kumar, R., Singh, S., & Kaur, S. (2022). Selection of industrial arc welding robot with TOPSIS and Entropy MCDM techniques. *Materials Today: Proceedings*, 50, 709-715.
- Duncan, A. J. (1956). The economic design of X charts used to maintain current control of a process. *Journal of the American statistical association*, 51(274), 228-242.
- Forozandeh, M., & Roozbahani, M. (2023). Selecting the portfolio of construction projects with a life cycle approach using DEMATEL and TOPSIS Fuzzy techniques (Sarchesmeh Mehrkariman Company). *Journal of Strategic Management in Industrial Systems*, 17(62), 37-54. (In Persian).
- Katebi, M., & Pourtaheri, R. (2019). An economic statistical design of the Poisson EWMA control charts for monitoring nonconformities. *Journal of Statistical Computation and Simulation*, 89(15), 2813-2830.
- Kim, J. S., Choi, M., Kim, S. H., Choi, S. H., & Kang, C. M. (2022). Safety and feasibility of laparoscopic pancreaticoduodenectomy in octogenarians. *Asian Journal of Surgery*, 45(3), 837-843.
- Lee, M. H., Khoo, M. B., Haq, A., & Chew, X. (2023). Economic-statistical design of the variable sampling interval Poisson EWMA chart. *Communications in Statistics-Simulation and Computation*, 52(5), 2139-2150.
- Liu, L., Lai, X., Zhang, J., & Tsung, F. (2018). Online profile monitoring for surgical outcomes using a weighted score test. *Journal of Quality Technology*, 50(1), 88-97.
- Lorenzen, T. J., & Vance, L. C. (1986). The economic design of control charts: a unified approach. *Technometrics*, 28(1), 3-10.
- Lu, S. L., & Huang, C. J. (2017). Statistically constrained economic design of maximum double EWMA control charts based on loss functions. *Quality Technology & Quantitative Management*, 14(3), 280-295.
- Mohammadian, F., Niaki, S. T. A., & Amiri, A. (2016). Phase-I risk-adjusted geometric control charts to monitor health-care systems. *Quality and Reliability Engineering International*, 32(1), 19-28.
- Mustafa, F., Sherwani, R. A. K., & Raza, M. A. (2023). A new exponentially weighted moving average control chart to monitor count data with applications in healthcare and manufacturing. *Journal of Statistical Computation and Simulation*, 93(18), 3308-3328.
- Nasiri Pour, A., Azizi, A., Rahimzadeh, A., Ershadi, M. J., & Zeinalnezhad, M. (2024). Designing a Log-Logistic-Based EWMA Control Chart Using MOPSO and VIKOR Approaches for Monitoring Cardiac Surgery Performance. *Decision Making: Applications in Management and Engineering*, 7(1), 342-363.
- Ghafour, K. (2024). Multi-objective continuous review inventory policy using MOPSO and TOPSIS methods. *Computers & Operations Research*, 163, 106512.
- Niaki, S. T. A., Malaki, M., & Ershadi, M. J. (2011). A particle swarm optimization approach on economic and economic-statistical designs of MEWMA control charts. *Scientia Iranica*, 18(6), 1529-1536.
- Parsa, M., & Van Keilegom, I. (2023). Accelerated failure time vs Cox proportional hazards mixture cure models: David vs Goliath?. *Statistical Papers*, 64(3), 835-855.

- Rafiei, N., Asadzadeh, S., & Niaki, S. T. A. (2021). Multi-objective design of risk-adjusted control chart in healthcare systems with economic and statistical considerations. *Communications in Statistics-Simulation and Computation*, 52(7), 2667-2984.
- Rafiei, N., & Asadzadeh, S. (2022). Designing a risk-adjusted CUSUM control chart based on DEA and NSGA-II approaches A case study in healthcare: Cardiovascular patients. *Scientia Iranica*, 29(5), 2696-2709.
- Saniga, E. M. (1989). Economic statistical control-chart designs with an application to and R charts. *Technometrics*, 31(3), 313-320.
- Sego, L. H., Reynolds Jr, M. R., & Woodall, W. H. (2009). Risk-adjusted monitoring of survival times. *Statistics in medicine*, 28(9), 1386-1401.
- Serel, D. A. (2009). Economic design of EWMA control charts based on loss function. *Mathematical and Computer Modelling*, 49(3-4), 745-759.
- Xue, L., Wang, Q., Li, C., & An, L. (2023). Economic design of residuals MEWMA control chart with variable sampling intervals and sample size. *Communications in Statistics-Simulation and Computation*, 1-22.
- Yeganeh, A., Chukhrova, N., Johannsson, A., & Fotuhi, H. (2023). A network surveillance approach using machine learning based control charts. *Expert Systems with Applications*, 219, 119660.

## Multi-Objective Design of Risk-Adjusted Exponentially Weighted Moving Average Control Chart to Monitor Patients' Survival Time Using Decision-Making Techniques

**Amir Nasiri Pour**

Ph.D. Candidate, Department of Industrial Engineering, Science and Research Branch, Islamic Azad University, Tehran, Iran

**Amir Azizi** (Corresponding Author)

Assistant Professor, Department of Industrial Engineering, Science and Research Branch, Islamic Azad University, Tehran, Iran

E-mail: azizi@srbiau.ac.ir

**Ayub Rahimzadeh**

Assistant Professor, Department of Industrial Engineering, Kermanshah Branch, Islamic Azad University, Kermanshah, Iran

**Mohammad Javad Ershadi**

Associate Professor, Department of Information Technology, Iranian Research Institute for Information Science and Technology (IranDoc), Tehran, Iran

**Masoomeh Zeinalnezhad**

Assistant Professor, Department of Industrial Engineering, West Tehran Branch, Islamic Azad University, Tehran, Iran

### **Abstract**

In recent years, much attention has been paid to the development of control charts for monitoring healthcare systems. Based on this, the aim of this paper is to design a multi-objective risk-adjusted exponentially weighted moving average control chart in order to detect decreasing changes in patients' survival time. Before undergoing surgery, patients have various risk factors that affect the surgical process. Therefore, risk adjustment in the design of the proposed control chart is done with the aim of considering the effect of the preoperative risk factors of each patient on his survival time and using the accelerated failure time model. In order to use the proposed control chart, it is necessary to determine the design parameters in such a way that the desired economic and statistical properties are satisfied simultaneously. As a result, a multi-objective model is proposed, which is solved by a two-stage approach based on the Pareto optimization and the TOPSIS technique. The performance of the proposed approach has been investigated in one of the medical centers of Kermanshah city, and a comparison with the pure economic design model for the multi-objective design model in the presence of multiple assignable causes has also been considered. By increasing the cost by a small amount, it shows more favorable and better statistical performance. In this paper, a new approach of the multi-objective problem for the statistical economic design of the risk-adjusted control chart has been modeled according to its application in healthcare systems.

**Keywords:** Control Chart, Exponentially Weighted Moving Average, Pareto Optimization, Risk Adjustment, TOPSIS.